

- [6] Каряев В.Н., Голубев Л.В., Шмарцев Ю.В.,  
Шульпина И.Л., Веремеенко М.Д., Кригель В.Г. // Электронная техника, сер. Материалы. 1982. В. 8. С. 32-37.
- [7] Протопопов О.Д. Обзоры по электронной технике. Сер. 7. Технология, организация производства и оборудование. 1985, вып. 10 (1117).
- [8] Аристархова А.А., Бирюлин Ю.Ф., Волков С.С., Новиков С.В., Тимашев М.Ю., Шмарцев Ю.В. // Письма в ЖТФ. 1988, Т. 14. В. 19. С. 1794-1799.

Физико-технический  
институт им. А.Ф. Иоффе  
АН СССР,  
Ленинград

Поступило в Редакцию  
10 августа 1989 г.

Письма в ЖТФ, том 16, вып. 2

26 января 1990 г.

05.3; 07

© 1990

## АНИЗОТРОПНОЕ ЛОКАЛЬНОЕ ПЛАВЛЕНИЕ ИМПЛАНТИРОВАННОГО КРЕМНИЯ: СТРУКТУРНЫЕ И ТЕРМОПЛАСТИЧЕСКИЕ ЭФФЕКТЫ

Я.В. Фаттахов, Т.Н. Васильева,  
И.Б. Хайбуллин

В последнее время большое внимание уделяется исследованию важного физического эффекта – анизотропного локального плавления поверхности полупроводников при облучении мощными импульсами света [1-3]. Интерес к эффекту обусловлен следующим. Во-первых, изучение механизма и закономерностей локального плавления позволяет получить ценную физическую информацию о свойствах полупроводника и процессах, протекающих в образце во время и после действия мощного импульса света. Во-вторых, эти исследования непосредственно связаны с решением важной прикладной проблемы – оптимизацией режимов импульсного светового отжига (ИСО) ионно-легированных слоев (ИЛС), а также кристаллизацией аморфных слоев на изолирующей подложке.

В настоящей работе впервые проведены систематизированные экспериментальные исследования локального плавления имплантированного кремния: влияния мощности и длительности светового импульса, дозы и энергии имплантации, типа иона на плотность, размеры и форму локальных областей плавления (ЛОП).

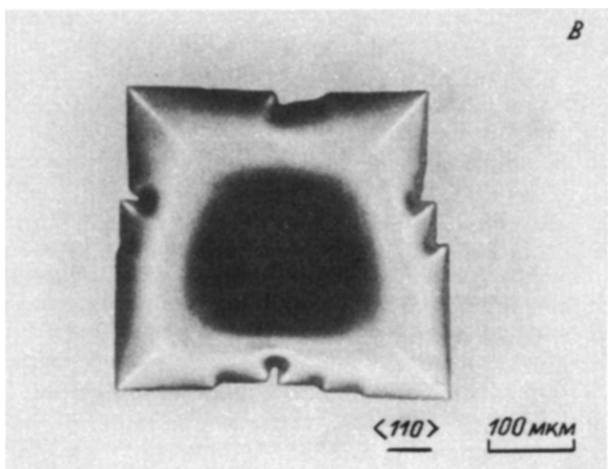
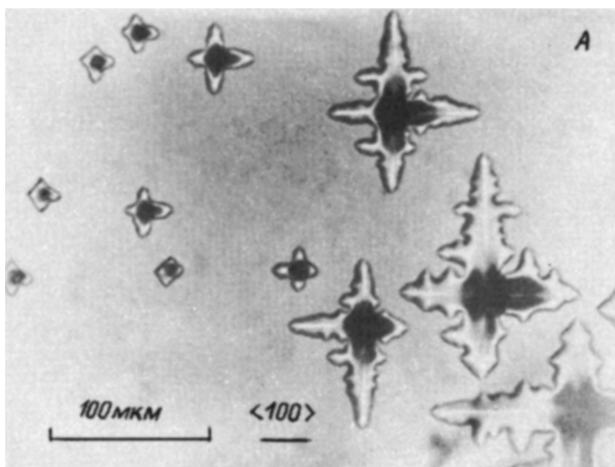


Рис. 1. Микрофотографии поверхности образцов имплантированного кремния, подвергнутых импульсному световому облучению в режиме покального плавления,  $\tau_H$ , с: а - 0.42, б - 1.60, в - 5.01, г - 0.60;  $E_0$ , Вт/см<sup>2</sup>: а - 400, б - 120, в - 50, г - 290. ИЛС: ион -  $B^+$ ; энергия - 40 кэВ, доза а-в -  $4.4 \cdot 10^{15}$  см<sup>-2</sup>, г -  $1.2 \cdot 10^{16}$  см<sup>-2</sup>.

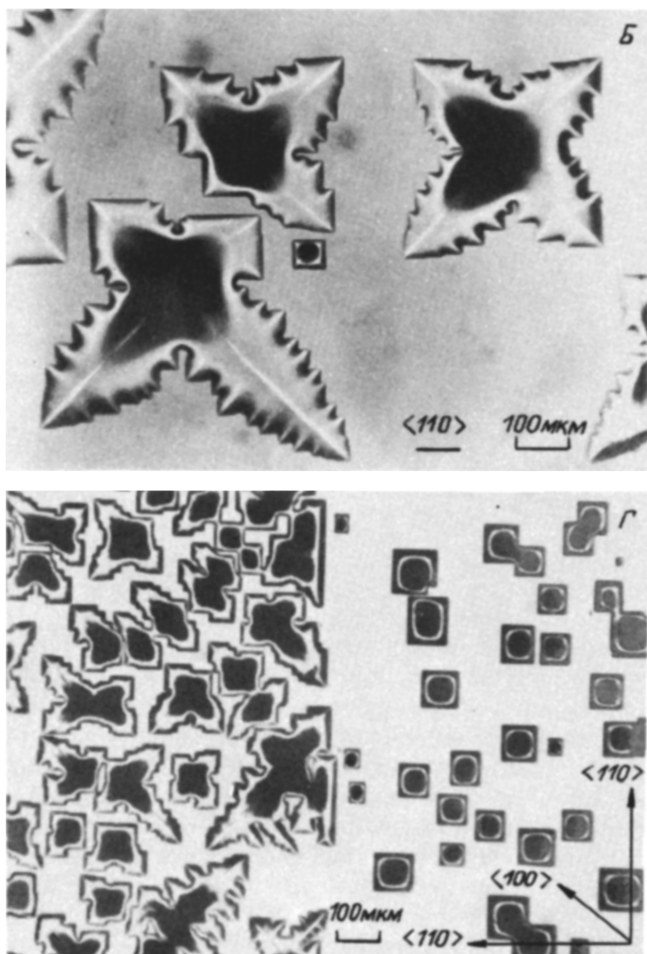


Рис. 1. (продолжение).

Подложка: ориентация поверхности (100), а-в - КЭФ - 4.5; г - КДБ - 10.  
У образца, приведенного на рис. г, имплантирована левая половина.  
Увеличение: а - 250<sup>X</sup>; б, в - 125<sup>X</sup>; г - 80<sup>X</sup>.

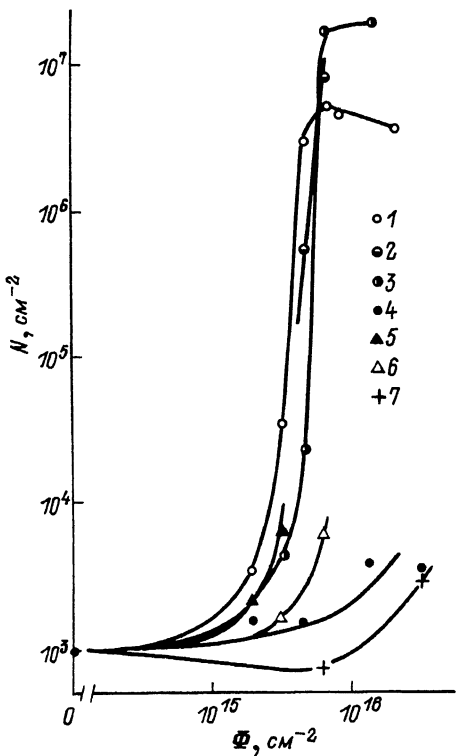
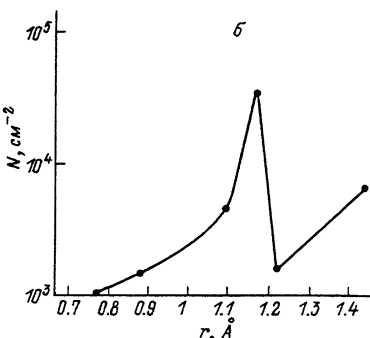
*a*

Рис. 2. Зависимость плотности  $N$  локальных областей плавления от дозы имплантации ионов (а) и тетраэдрического ковалентного радиуса имплантированных элементов (б). Ионы: 1 -  $\text{Si}^+$ , 2 -  $\text{P}^{++}$ , 3 -  $\text{P}^+$ , 4 -  $\text{B}^+$ , 5 -  $\text{In}^+$ , 6 -  $\text{Ge}^+$ , 7 -  $\text{C}^+$ . Энергия имплантации: 1, 3, 4, 6, 7 - 40 кэВ; 2 - 80 кэВ; 5 - 30 кэВ.



Были имплантированы ионы элементов Ш, 1У и У групп:  $\text{B}^+$ ,  $\text{In}^+$ ,  $\text{Si}^+$ ,  $\text{C}^+$ ,  $\text{Ge}^+$ ,  $\text{P}^+$  с энергиями от 20 до 80 кэВ и дозами до  $3.12 \times 10^{16} \text{ см}^{-2}$ . В качестве подложек использовались пластины монокристаллического кремния КЭФ-4.5 и КДБ-10 ориентации (100). Импульсное световое облучение в режиме локального плавления проводилось при длительности светового импульса  $E_0$  от 0.03 до 20 с и плотности мощности  $\tau_i$  от 40 до 2000 Вт/см<sup>2</sup> [1, 4]. Остаточные дефекты отожженных ИЛС исследованы методом просвечивающей электронной микроскопии (ПЭМ) на микроскопе В6-500. Определение ориентаций поверхностей пластин кремния и кристаллографических осей проводилось на дифрактометре ДРОН-2.

В результате исследования зависимости плотности, размеров и формы ЛОП от длительности светового импульса, приводящего к локальному плавлению, установлено, что увеличение  $\tau_i$  (при соответствующем уменьшении  $E_0$  [1, 4]) приводит к снижению плотности (количества на единицу площади) ЛОП ~ на 2 порядка величины, в то время как их размеры немонотонно возрастают. С увеличением  $\tau_i$  форма ЛОП изменяется от дендритной [5] до почти правильной геометрической, соответствующей исходному монокристаллу (рис. 1).

Ниже приведены результаты исследований влияния режимов светового облучения и имплантации, а также типа подложки на наблюдаемые закономерности.

Показана идентичность всего исследованного диапазона  $\tau_i$  с точки зрения электрической активации имплантированной примеси. Но при этом увеличение  $\tau_i$  от 100 мс до 10 с (при максимальных температурах отжига, близких к температуре локального плавления) приводит к снижению плотности дислокаций в три раза. Для длительностей светового импульса  $\tau_i \leq 1$  с основной вклад в процессы рекристаллизации [6] будет вносить задний фронт теплового импульса, определяемый механизмом охлаждения – теплоизлучением [7, 8]. В результате этого установленные различия в структуре оказываются еще более выраженным в момент окончания светового импульса, т.е. по окончании переднего фронта теплового импульса. Наблюданное уменьшение плотности ЛОП при увеличении  $\tau_i$  с 0.1 до 10 с является следствием уменьшения дефектности ИЛС к моменту достижения температуры локального плавления.

При изучении влияния режимов имплантации установлено, что с ростом дозы ионов наблюдается увеличение в различной степени плотности ЛОП (рис. 2, а), что мы связываем с повышением плотности вторичных (остаточных) дефектов в ИЛС в результате отжига, протекающего до момента достижения температуры локального плавления. Проанализированы зависимости плотности ЛОП от тетраэдрического ковалентного радиуса имплантированных элементов (рис. 2, б). Рост плотности ЛОП в диапазоне  $r$  от 0.77 до 1.17 Å объясняется, в частности, увеличением массы иона, а значит, степени разупорядочения и, в конечном счете, остаточной дефектности. Резкое снижение  $N(r)$  для  $Ge$  и  $In$ , по-видимому, связано либо с формированием менее дефектного слоя после твердофазной эпитаксиальной кристаллизации аморфизованного тяжелыми ионами ИЛС [9] в течение переднего фронта теплового импульса, либо с образованием в этих слоях специфических остаточных дефектов с низкой эффективностью как центров зародышеобразования жидкой фазы.

Впервые обнаружено, что дендритная форма ЛОП на имплантированном кремнии ориентации (100) наблюдается лишь при легировании ионами с ковалентными радиусами, значительно меньшими, чем у кремния ( $B^+$ ,  $L^+$ ). Для других использованных ионов с ростом дозы происходит резкий переход от анизотропной формы ЛОП (квадратной) к изотропной (круглой). Характерная форма ЛОП сохраняется и на отожженных до операции локального плавления образцах легированных ионами  $B^+$  и  $In^+$ .

Сопоставление направлений роста дендритов, кристаллографических осей на поверхности кремния и направлений скольжения [10, 11] позволяет дать, по нашему мнению, следующее объяснение наблюдаемым эффектам. Как известно, импульсный (с различными  $\tau_i$ ) нагрев излучением полупроводниковых пластин сопровождается появлением в них термоупругих напряжений, связанных с быстрым изменением температуры во времени и градиентами ее по поверх-

ности и объему. При превышении предела упругости материала эти напряжения релаксируют (в плоскостях скольжения) с образованием структурных дефектов. В монокристаллах кремния плоскость скольжения совпадает с плоскостью (111), а направление его в этой плоскости -  $\langle 110 \rangle$  (направление моноскользения). Когда напряжение превышает предел упругости на  $\sim 20\%$ , может происходить скольжение одновременно в двух системах скольжения [10], так называемое двойное скольжение (на (100) Si - в результате направлении типа  $\langle 100 \rangle$ ). Относительное превышение механических напряжений над пределом упругости можно создать двумя способами. Первый - путем повышения величины генерируемых импульсом света напряжений (за счет уменьшения  $T_u$  при соответствующем увеличении  $E_0$ ) при неизменных механических свойствах образца. Второй - путем снижения каким-либо способом предела упругости материала. Нами реализованы оба этих способа. В частности, имплантация  $B^+$  и  $C^+$  создает в решетке растягивающие напряжения, снижающие предел упругости, приводя к тому, что при тех же величинах индуцируемых светом напряжений реализуется механизм двойного скольжения, что и будет приводить к дендритной форме ЛОП (рис. 1, г). При легировании другими ионами либо возникают растягивающие напряжения ниже пороговых, либо, наоборот, возникают сжимающие. В этом случае термопластические эффекты в описанном виде не проявляются.

Таким образом, наблюдаемые закономерности локального плавления имплантированного кремния при импульсном световом облучении в диапазоне длительностей от  $10^{-1}$  до 10 с объясняются проявлением (и взаимодействием) процессов рекристаллизации и термопластических эффектов (как индуцированных светом, так и обусловленных имплантацией).

В заключение авторы выражают благодарность Е.М. Мисюрёву, М.Л. Блатту, В.А. Шустову за помощь в проведении экспериментов.

#### Список литературы

- [1] Фаттахов Я.В., Хайбуллин И.Б., Баязитов Р.М., Мисюрёв Е.М. // Письма в ЖТФ. 1988. Т. 14. В. 16. С. 1474-1478.
- [2] Демчук А.В., Данилович Н.И., Лабунов В.А., Пристрем А.М. // Поверхность. Физика, химия, механика. 1988. № 1. С. 106-114,
- [3] Верходанов С.П., Герасименко Н.Н., Мясников А.М. // Поверхность. Физика, химия, механика. 1988. № 5. С. 69-73.
- [4] Fattakhov Ya.V., Bayazitov R.M., Khaybullin I.B., Misuryarov E.M., Mchitarov M.A. Physical Research, v. 8. Energy Pulse and Particle Beam Modification of Materials. Berlin: Akademie-Verlag, 1988, p. 259-261.

- [5] Heinig K.-H. Internat. Conf. on Energy Pulse Modification of Semiconductors and Related Materials, Dresden (DDR), 25-28 Sept., 1984, p. 265-279.
- [6] Нидаев Е.В., Смирнов Л.С. // Электронная техника. Сер. Полупроводниковые приборы. 1981. В. 5. С. 50-59.
- [7] Mc Mahon R.A., Ahmed H., Dobson R.M., Speight J.D. // Electron. Lett. 1980. V. 16. N 8. P. 295-297.
- [8] Kalabes R., Matthäi J., Voelskow M., Kachurin G.A., Nidaev E.V., Bartsch H. // Phys. Stat. Sol. (a). 1981. V. 66. N 1. P. 261-266.
- [9] Thornton J., Hemment P.L.F., Wilson I.H. // Nucl. Instrum. and Meth. in Phys. Res. Sect. B. 1987. V. 19/20. Pt. 1. P. 307-311.
- [10] Bentini G., Correra L., Donolato C. // J. Appl. Phys. 1984. V. 56. N 10. P. 2922-2929.
- [11] Борисенко В.Е., Юдин С.Г. // Зарубежная электронная техника. 1989. № 1 (332). С. 67-82.

Казанский физико-технический  
институт

Поступило в Редакцию  
31 августа 1989 г.

Письма в ЖТФ, том 16, вып. 2

26 января 1990 г.

05.1

© 1990

О СОХРАНЕНИИ МЕТАСТАБИЛЬНЫХ ФАЗ  
ВЫСОКОГО ДАВЛЕНИЯ  
ПРИ УДАРНОМ СЖАТИИ

С.С. Б а ц а н о в, Л.Г. Б о л х о в и т и н о в,  
А.И. М а р ты н о в

Фазы высокого давления, образующиеся при ударном сжатии, часто отжигаются при высоких температурах, возникающих в образцах после прохождения по ним интенсивных ударных волн. Для снижения остаточной температуры используют криогенные жидкости перед или в процессе взрывного воздействия, запрессовку тонкого слоя образца между массивными металлическими блоками, добавление воды в обжимаемую систему, диспергирование и разлет вещества в процессе взрыва.

Сохранение метастабильных фаз возможно и другим путем — уменьшением отжига за счет удержания в исследуемой системе высокого давления в течение достаточно длительного времени. Разра-